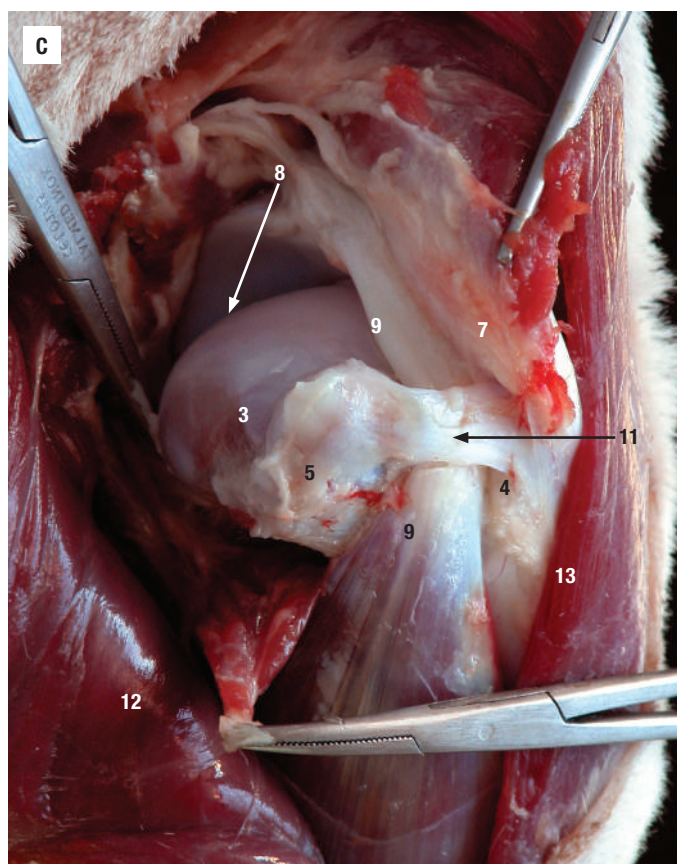
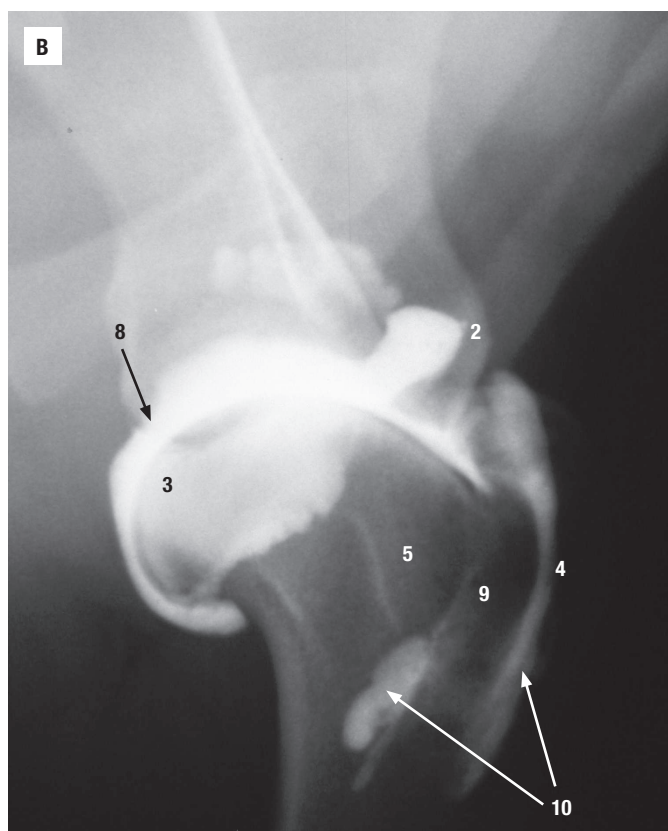
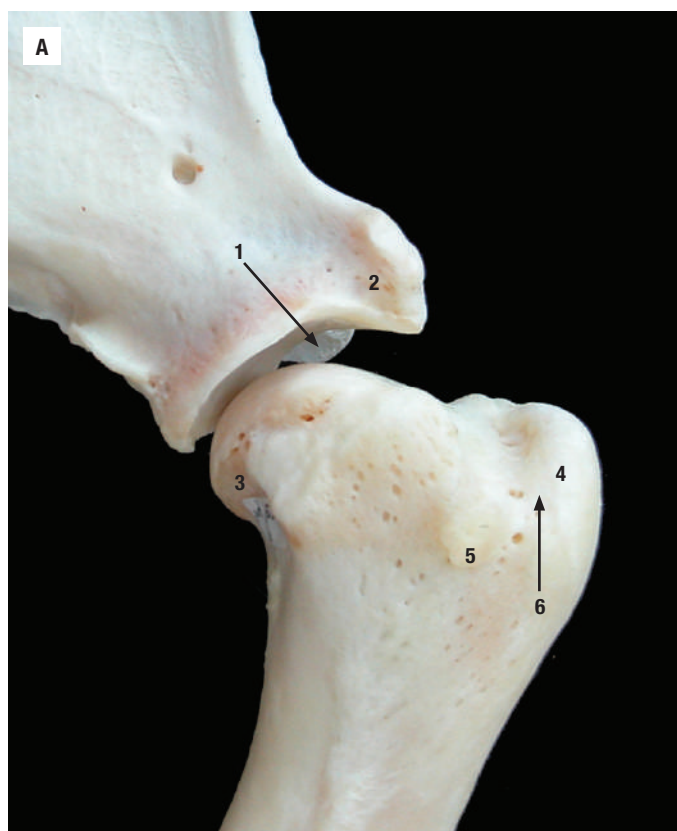
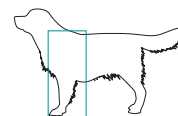
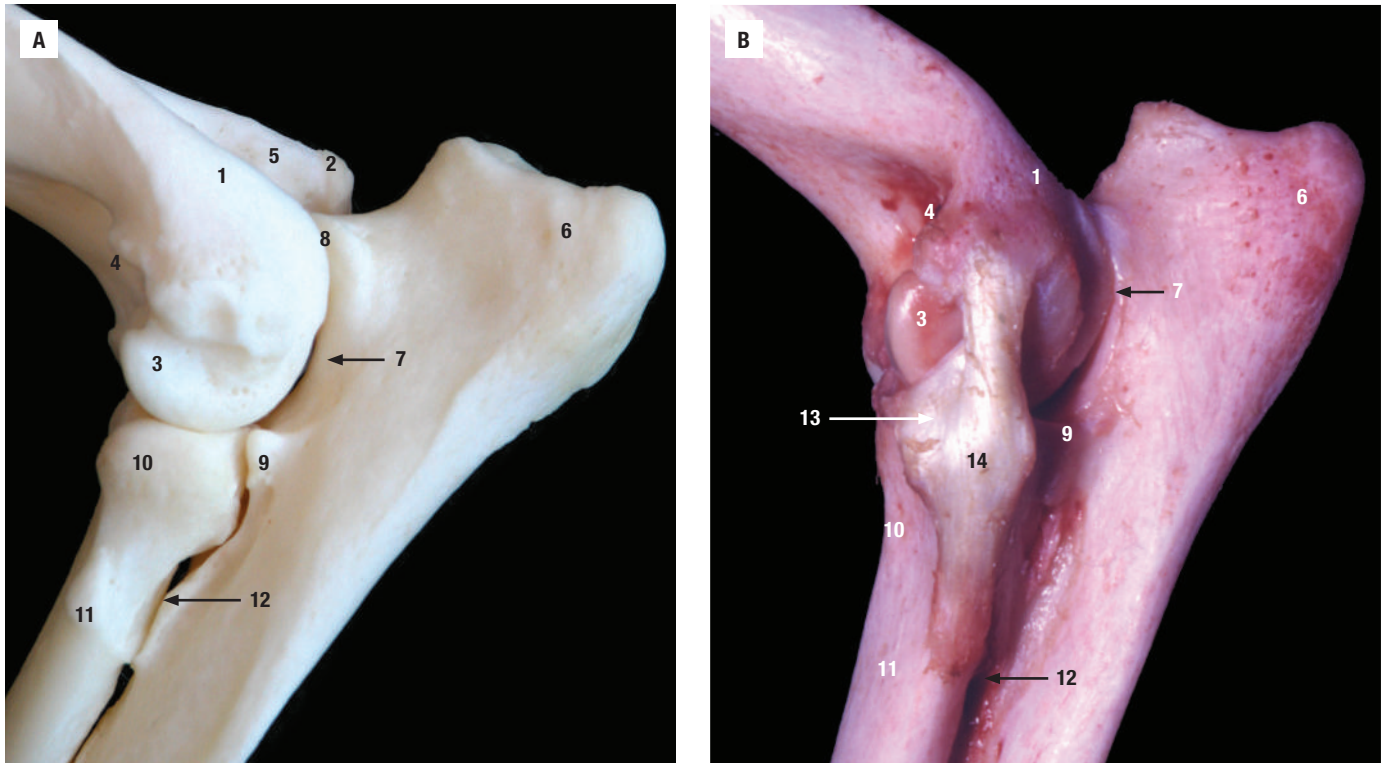
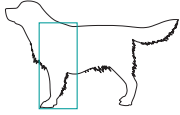


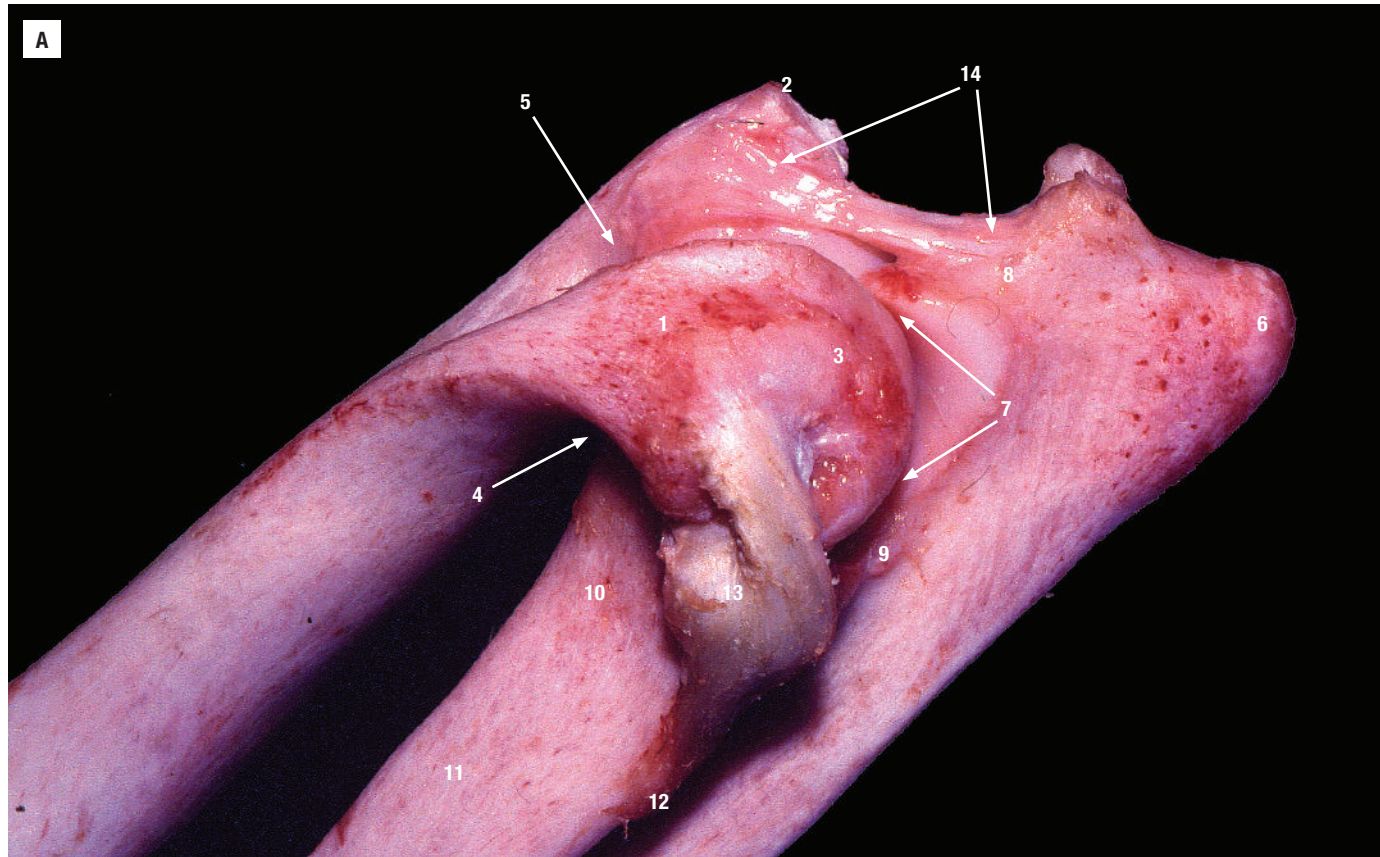
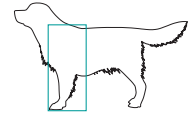
**Figura 293.** Articulación escapulohumeral. Vistas laterales: (A) superficies óseas y (B) disección. Visiones mediales: (C) superficies óseas y (D) disección. 1. Acrómion. 2. Tubérculo supraglenoideo. 3. Tubérculo infraglenoideo. 4. Tubérculo mayor. 5. Tuberosidad deltoidea. 6. Cabeza del húmero. 7. Tubérculo menor del húmero. 8. Cápsula articular y ligamentos glenohumerales. 9. Cavidad glenoidea y labro glenoideo. 10. Tendón de inserción del músculo infraespinoso. 11. Tendón de origen del músculo bíceps del brazo. 12. Ligamento transversal del húmero. 13. Tendón de origen del músculo coracobraquial.



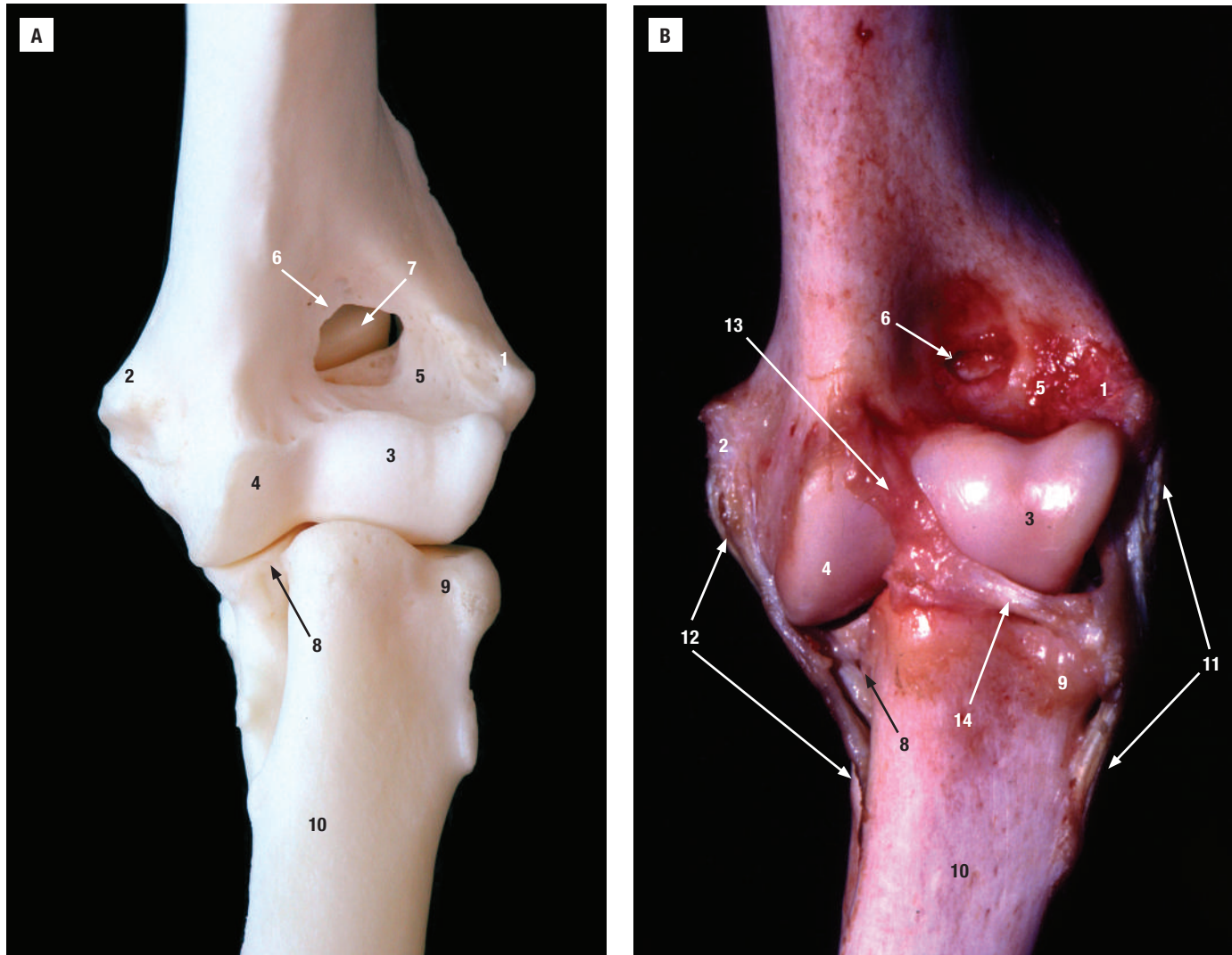
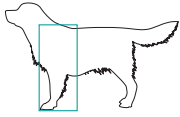
**Figura 294.** (A) Articulación del hombro: vista medial de las superficies óseas, (B) artrografía, (C) disección medial de la cápsula articular (C). Se observa cómo el contraste en la artrografía ocupa la cavidad articular y la vaina sinovial intertubercular que rodea al tendón de origen del músculo bíceps braquial. 1. Cavidad glenoidea. 2. Tubérculo supraglenoideo y apófisis coracoidea. 3. Cabeza del húmero. 4. Tubérculo mayor. 5. Tubérculo menor. 6. Surco intertubercular. 7. Cápsula articular. 8. Cavidad articular. 9. Tendón de origen del músculo bíceps del brazo. 10. Vaina sinovial intertubercular. 11. Ligamento transversal del húmero. 12. Músculo pectoral superficial. 13. Músculo cleidobraquial.



**Figura 295.** Articulación del codo. Vista lateral: (A) superficies óseas y (B) disección. Se identifica el ligamento colateral lateral y su relación con las estructuras óseas. 1. Epicóndilo lateral del húmero. 2. Epicóndilo medial del húmero. 3. Cóndilo del húmero (capítulo). 4. Fosa radial. 5. Fosa del olécranon. 6. Tuberosidad del olécranon. 7. Escotadura troclear. 8. Apófisis ancónea. 9. Apófisis coronoidea lateral del cúbito. 10. Cabeza del radio. 11. Cuerpo del radio. 12. Espacio interóseo del antebrazo. 13. Fascículo craneal del ligamento colateral lateral. 14. Fascículo caudal del ligamento colateral lateral.



**Figura 296.** Articulación del codo en situación de máxima flexión para observar el cambio de aspecto del ligamento colateral lateral y el ligamento del olécranon. **(A)** Vistas lateral y **(B)** caudal. **1.** Epicóndilo lateral del húmero. **2.** Epicóndilo medial del húmero. **3.** Cóndilo del húmero (capítulo). **4.** Fosa radial. **5.** Fosa del olécranon. **6.** Tuberosidad del olécranon. **7.** Escotadura troclear. **8.** Apófisis ancónea. **9.** Apófisis coronoidea lateral del cúbito. **10.** Cabeza del radio. **11.** Cuerpo del radio. **12.** Espacio interóseo del antebrazo. **13.** Ligamento colateral lateral. **14.** Ligamento del olécranon.



**Figura 297.** Articulación del codo. Vista craneal, donde se pueden identificar los engrosamientos de la cápsula articular por la cara craneal, como los ligamentos oblicuo y el anular del radio. Además, se observan los ligamentos colaterales (A) superficies óseas y (B) disección. 1. Epicóndilo lateral del húmero. 2. Epicóndilo medial del húmero. 3. Cóndilo del húmero (capítulo). 4. Cóndilo del húmero (tróclea). 5. Fosa radial. 6. Agujero supratrocleea. 7. Apófisis ancónea. 8. Apófisis coronoidea medial. 9. Cabeza del radio. 10. Cuerpo del radio. 11. Ligamento colateral lateral. 12. Ligamento colateral medial. 13. Ligamento oblicuo. 14. Ligamento anular del radio.